

Структура потенциала во фронте УВ, а также распределение электронной и ионной температур представлены на рис. 2. Скачок потенциала до ψ_1 образуется в области релаксации потока отраженных ионов. Скачок от ψ_1 до ψ представляет собой бесстолкновительную УВ. Распределение электронной температуры имеет максимум в области ионно-звукового скачка, поскольку диссипация потока отраженных ионов происходит перед ним. Затем температура электронов плавно спадает, а температура ионов плавно растет до значения температуры за фронтом УВ, следующего из общих соотношений на ударном разрыве (1).

ЛИТЕРАТУРА

1. Зельдович Я. Б., Райзнер Ю. П. Физика ударных волн и высокотемпературных гидродинамических явлений.— М.: Наука, 1966.
2. Великович А. Л., Либерман М. А. Физика ударных волн в газах и плазме.— М.: Наука, 1987.
3. Ландау Л. Д., Лифшиц Е. М. Гидродинамика.— М.: Наука, 1986.
4. Сивухин Д. В. Кулоновские столкновения в полностью ионизованной плазме // Вопросы теории плазмы/Под ред. М. А. Леонтовича.— М.: Атомиздат, 1964.— Вып. 4.
5. Сагдеев Р. З. Коллективные процессы и ударные волны в разреженной плазме// Там же.
6. Алиханов С. Г., Белан В. Г. и др. Исследования ударных ионных волн в бесстолкновительной плазме // ЖЭТФ.— 1971.— Т. 60, вып. 3.
7. Бардаков В. М., Морозов А. Г., Шухман И. Г. О структуре ламинарных ударных волн в бесстолкновительной плазме // Физика плазмы.— 1975.— Т. 1, № 6.

г. Иркутск

Поступила 21/VII 1988 г.,
в окончательном варианте — 8/XII 1988 г.

УДК 532.593+532.529+541.126

Ф. Н. Замараев, В. К. Кедринский, Ч. Мейдер

ВОЛНЫ В ХИМИЧЕСКИ АКТИВНОЙ ПУЗЫРЬКОВОЙ СРЕДЕ

Рассматриваются численные модели волновых процессов в жидкости, содержащей пузырьки химически активной газовой смеси. К настоящему времени в этой области выполнен ряд экспериментальных и численных исследований: от анализа динамики одиночных пузырьков до двухфазных систем. Один из первых экспериментальных результатов получен Р. И. Солоухиным и В. К. Кедринским в 1960 г. при анализе поведения стехиометрических смесей ацетилена — кислорода и водорода — кислорода в крупных, около 1 см диаметром, пузырьках из тонкой резины, сжимаемых ударной волной (УВ). Температура, рассчитанная в момент воспламенения по мгновенному значению радиуса пузырька в предположении адабатичности его схлопывания, сравнивалась с температурой воспламенения смеси. Факт взрыва смеси регистрировался по излому непрерывной развертки $R(t)$ (рис. 1, б) в отличие от случая неактивной смеси (рис. 1, а), по свечениюю продуктов взрыва (аналогичный метод был использован в [1]) и состоянию пузырька после взрыва. На рис. 1 светлая полоса поперек развертки — результат засветки при электровзрыве проволочки, генерирующем УВ.

В [2] обращено внимание на возможность воспламенения в УВ короткой цепочки пузырьков, расположенной вертикально. Детальные экспериментальные исследования по структуре УВ в химически активных пузырьковых средах выполнены А. И. Сычевым и А. В. Пинаевым в 1983—87 гг. [3—5]. Ими обнаружено, что в таких средах могут существовать стационарные уединенные волны типа волнового пакета, названные волнами пузырьковой детонации. Оказалось, что для их формирования амплитуда исходной волны должна достигать некоторого критического значения r_k , которое существенно зависит от вязкости несущей фазы. Превышение r_k не влияет на скорость волны пузырьковой детонации, но сокращает время выхода системы на установленный режим. Показано, что скорость распространения такой уединенной волны D заметно превышает скорость падающей v , которая, однако, возрастает, если увеличивать гидростатическое давление в среде. В последнем случае эта волна может догнать и перегнать детонационную [5]: возникает эффект, аналогичный перескоковой детонации.

В [4] экспериментально обнаружены нижний ($K \leq 0,5\%$) и верхний ($K \geq 8\%$) пределы по объемной концентрации пузырьков в жидкости K , когда пузырьковая детонация неустойчива или исчезает. Причем скорость ее распространения уве-

личивается по мере уменьшения K . Отмечено, что амплитуды волн в пакете могут принимать значения 15—40 МПа. Авторы [4] указывают, что, например, в экспериментах с системой $\text{H}_2\text{O} - \text{C}_2\text{H}_2 + 2,5\text{O}_2$ при диаметре пузырьков $\varnothing = 3-4$ мм и концентрации $K \approx 6\%$ длина зоны с воспламенившимися пузырьками 6—7 см, время свечения каждого из них 2—3 мкс, длительность уединенной волны 100—200 мкс, а ее скорость (~ 400 м/с) несколько увеличивается по мере распространения волны. Предполагается, что это ускорение связано с градиентом средней плотности среды из-за гидростатики.

Приведенные характеристики процесса определяют его основные особенности и служат контрольными данными для проверки численных моделей. Такие модели рассмотрены в [6, 7]. В [6] основное внимание уделялось стационарным режимам, исследования которых привели авторов к выводам о том, что скорость волны пузырьковой детонации слабо зависит от концентрации, а максимальные значения ее амплитуд $p_{\max} \approx 80 p_0$. Как видно, эти результаты существенно отличаются от экспериментальных [3—5]. В [7] анализируются два подхода к проблеме: взаимодействие падающей УВ с одиночным пузырьком и двухфазная модель процесса. Основные особенности этих исследований и их развитие рассмотрены ниже.

Взаимодействие с одиночным пузырьком — «элементарный» акт сложного процесса трансформации волны в пузырьковой среде. Однако его детальный анализ привел к обнаружению возможно нового механизма возбуждения пузырьковой детонации. Неожиданный эффект возник при расчете взаимодействия сильной (50 МПа) плоской УВ со сферическим пузырьком радиусом 2 мм, наполненным 50%-ной смесью ацетилена с кислородом. Интенсивность преломленной в пузырек УВ оказалась достаточной, чтобы инициировать детонацию в газовой смеси. Реакция возникла вблизи его стенки со стороны подхода УВ задолго до момента схлопывания пузырька (рис. 2). На рис. 2, *a* показаны профили изобар для момента времени 10,5 мкс, волна распространяется слева направо, в верхней части видна полусфера пузырька. В расчете использовалось уравнение состояния НОМ для воды и продуктов детонации. В законе Аррениуса для скорости реакции энергия активации 209 КДж/моль, $z = 6,15 \times 10^{27}$ [8]. Результаты расчета наглядно демонстрируют описанный эффект: резкие скачки давления (*a*) и температуры (*b*) по сечению пузырька.

Следующим шагом в развитии этого направления можно рассматривать экспериментальные результаты из [2]. В ней падающая УВ с амплитудой $\sim 0,7$ МПа взаимодействует с цепочкой пузырьков $\varnothing \approx 1$ см, расположенных на расстоянии порядка 5 см друг от друга в направлении распространения волны. Показано, что пузырьки способны последовательно взрываться, генерируя волну с осциллирующим профилем, скорость которой немного превышает 500 м/с. Приведен расчет динамики одиночного пузырька с водородо-кислородной смесью и добавкой 70 % Ar с учетом кинетики, описываемой одиннадцатью элементарными реакциями. Сравнение с экспериментом показало, что расчетная степень сжатия существенно меньше. Авторы [2] попытались оценить скорость распространения волны детонации, предположив, что падающая УВ полностью поглощается первым пузырьком. Взрыв смеси в нем генерирует новую волну в жидкости, которая взаимодействует со следующим пузырьком, и т. д. Таким образом, скорость волны в двухфазной цепочки определяется временем генерации каждой последующей волны, т. е. временем схлопывания пузырька, соответствующим моменту взрыва смеси, и временем, за которое излученная волна пробегает расстояние между соседними пузырьками со скоростью звука в жидком компоненте. Такое объяснение отвечает механизму формирования волн в инертной пузырьковой системе, изложенному в [9].

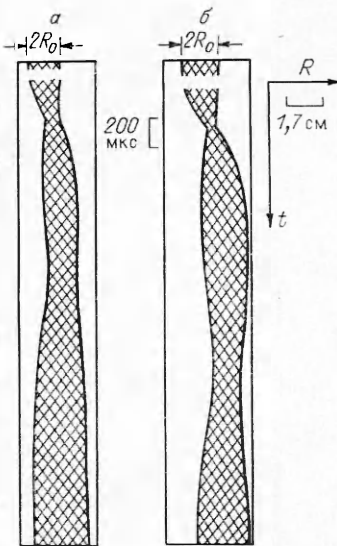
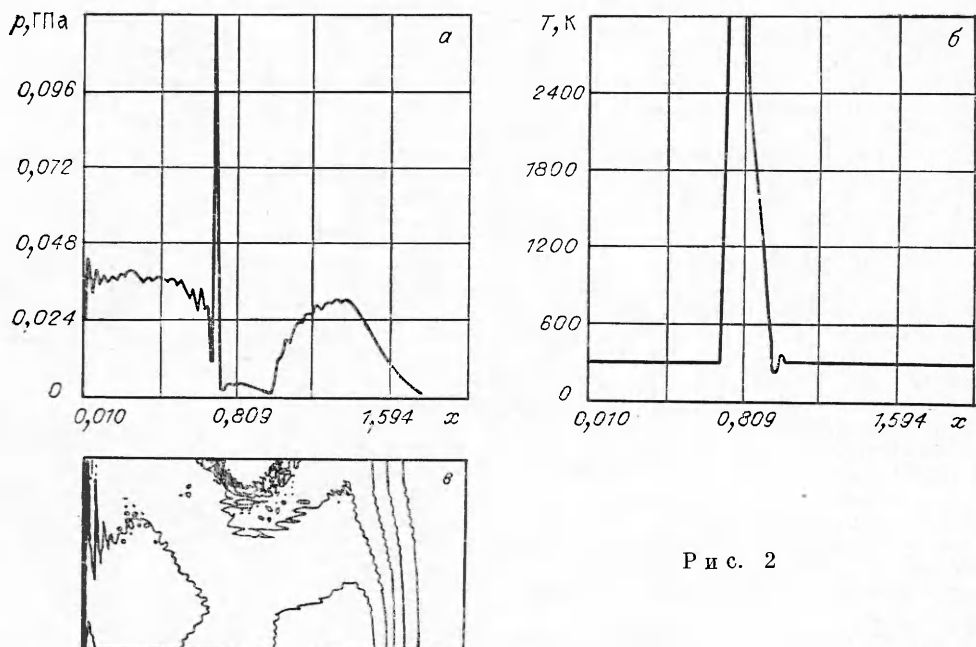


Рис. 1



Р и с. 2

Второй подход основан на упрощенной математической модели двухфазной пузырьковой среды, предложенной в [10]. В общем случае она имеет вид

$$(1) \quad \Delta\zeta = \zeta, \quad k_{tt} = -\alpha^2 k^{1/3} \zeta / \rho_0 K_0 + k_t^2 / 6k,$$

где $\alpha^2 = 3K_0/R_0^2$; $\zeta = p - \delta k^{-\gamma}$; $k = (R/R_0)^3$; K_0 и R_0 — начальные объемная концентрация и радиус пузырьков; считается, что газовая смесь в пузырьках ведет себя адиабатически с показателем адиабаты γ ; среднее давление смеси p обезразмерено относительно p_0 . Для химически активной среды при решении системы (1) принимаются специальные условия. Если при сжатии пузырька УВ температура достигает значения температуры воспламенения, происходит мгновенный взрыв смеси: давление в ней и показатель адиабаты меняются скачком с учетом, естественно, мгновенного значения плотности газа ρ_* в момент воспламенения. Например, в случае стехиометрии ацетилено-кислородной смеси γ_* продуктов детонации принимается 1,15 (начальное значение 1,33), а давление и коэффициент δ в выражении для ζ рассчитываются по известной формуле $p_* = \rho_* (\gamma_* - 1) Q$ (Q — теплота взрыва). Это означает, что для $Q = 2 \cdot 10^6$ Дж/кг при $\rho_* = R_*/R_0 \simeq 0,3$ ($T_* = 950$ К) $\delta = 6,47 \gamma_*^{-3/2}$ (здесь $\gamma = 1,33$), т. е. давление внутри пузырька в продуктах мгновенной детонации при постоянном объеме порядка 80 МПа (расчет по преломленной волне дает 120 МПа, рис. 2, а).

Задача формулируется следующим образом. На границе полубесконечной пузырьковой среды задается давление $p_{\text{гр}}(t)$. На бесконечности решение должно быть ограничено. Начальные условия: при $t = 0$ $R = R_0$, $k = 1$, $k_t = 0$. Особенность системы (1) в том, что пространственная координата x (обезразмеривается множителем $\alpha k^{1/6}$) играет роль параметра. Расчет показал, что с ростом этого параметра увеличиваются и время τ_0 , необходимое для достижения температуры воспламенения смеси, и максимум среднего давления p_{max} в среде. Так, при $x = 1, 2, 3$ и 4 см $\tau_0 = 87, 220, 553$ и 1386 мкс, а $p_{\text{max}} = 29,5, 37,8, 40,4$ и $42,5$ МПа соответственно. Действительно, в силу предположения о несжимаемости жидкой компоненты любая точка среды мгновенно откликается на приложенное на границе возмущение. Задание x означает задание толщины слоя $x_0 = x$, пузырьки в котором схлопываются синхронно. Следовательно, происходит инициирование слоя в целом. При этом линей-

ному росту объема слоя соответствует существенно нелинейное увеличение вкладываемой энергии: τ_0 растет в геометрической прогрессии с коэффициентом примерно 2,5 при изменении x на 1 см. Результаты получены для $p_{\text{гр}} = 3 \text{ МПа} = \text{const}$, $K_0 = 0,05$, $R_0 = 0,2 \text{ см}$.

Заметим, что при несжимаемом жидким компоненте приведенная постановка не позволяет описать влияние взрыва какого-то слоя среды на ее последующие участки (отсутствует важный элемент процесса — бегущее возмущение). Не изменения модели (1), дополним ее специальным условием, которое можно определить как своеобразную «накачку». Предполагается, что каждый раз давление в очередном взорвавшемся пузырьковом слое становится новым граничным условием для остальной полубесконечной среды. А в прореагировавшей, теперь уже химически неактивной среде пузырьки продолжают пульсировать под действием первоначально заданного давления на границе. Такой довольно искусственный подход дал положительные результаты.

Типичная картина формирования волнового поля приведена на рис. 3 (для $K_0 = 0,05$ и $p_{\text{гр}}$ в виде треугольника с амплитудой в 2 МПа и длительностью 40 мкс). Представлена последовательность распределения давления в пузырьковой среде $p_{\text{max}} = 0,77$ (1), 0,81 (2), 1,96 (3), 20,3 МПа (4) для моментов времени (сверху вниз) 136, 256, 348, 400 мкс соответственно. Масштаб по горизонтали $X_0 = 0,6 \text{ см}$, по вертикали $Y_0 = 2,5 \text{ МПа}$ (5 МПа для 4). Последний кадр фиксирует момент образования детонационной волны, скорость которой достигает 300 м/с и выходит на стационарный режим. До этого волна распространялась фактически с равновесной скоростью звука 40–50 м/с.

Расчеты, выполненные в широком диапазоне значений K_0 , показали, что, как и в эксперименте, скорость волны пузырьковой детонации существенно возрастает при уменьшении концентрации: при $K_0 = 0,15$ $D = 125 \text{ м/с}$, при $K_0 = 0,01$ $D = 750 \text{ м/с}$. С ростом $p_{\text{гр}}$ выше $p_{\text{кр}}$ τ_0 уменьшается. В рамках принятой постановки в расчетах пороговое значение K_0 не найдено. Осциллограмма давления $p(t)$, рассчитанная в фиксированной точке среды, имеет характерную пакетную структуру (рис. 4, а), максимум амплитуды в которой соответствует взрыву пузырькового слоя с той же координатой. Ряд своеобразных предвестников с возрастающей амплитудой представляют собой трансформированные в процессе распространения по среде УВ от взрывов предыдущих пузырьковых слоев. Качественно профиль $p(t)$ отвечает экспериментальным данным (рис. 4, б из [3]), что, возможно, указывает на проявление гетерогенности физической системы, используемой в эксперименте. Амплитуды и длительности близки по порядку величины.

Чтобы полностью оценить возможность двухфазной модели, необходимо учесть по крайней мере два условия: кинетику химической реакции в газовой смеси при пульсации пузырька и сжимаемость жидкого компонента среды, т. е. возможность переноса выделяющейся при взрыве энергии. Эта энергия может компенсировать потери в падающей волне, которая затухает по мере распространения в соответствии с известным механизмом трансформации [9, 10], и обеспечить существование самоподдерживающегося режима.

Заметим также, что в экспериментах [3, 4] рассмотрены более сложные структуры среды, когда несущей фазой является горючее, а пузырьки содержат кислород. Здесь, естественно, чрезвычайно важны эффекты тепломассообмена, при которых в процессе пульсации в пузырьках формируется взрывчатая газовая смесь. После завершения этого акта оба варианта среды в принципе идентичны с точки зрения механизма генерации волны детонации.

Динамика одиночной полости с химически активной смесью рассматривалась в рамках постановки задачи об «адиабатическом» тепловом взрыве. Уравнение пульсации в безразмерной форме имеет вид

$$(2) \quad \beta d^2\beta/d\tau^2 + (3/2)(d\beta/d\tau)^2 = \bar{T}/\beta^3 - (d\beta/d\tau)/\beta \text{ Re} - \bar{p},$$

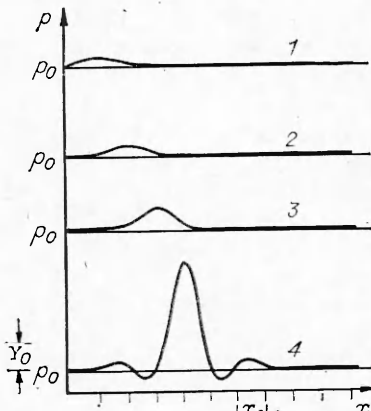


Рис. 3
кулярной реакции

где $\beta = R/R_0$ — безразмерный радиус; $\tau = t\sqrt{p_0/\rho_0}/R_0$; $Re = R_0\sqrt{p_0\rho_0}/4\mu$; $\bar{T} = T/T_0$ — температура; $p = p_\infty/p_0$ — давление на бесконечности. Температура газа внутри пузырька определялась на основании уравнения [11]

$$(3) d\bar{T}/d\tau = \eta d\bar{N}/d\tau - 3(\gamma - 1)\bar{T}(d\beta/d\tau)/\beta.$$

Здесь $\eta = Q/(c_m T_0)$ — теплота реакции Q , отнесенная к начальной температуре смеси T_0 и молярной теплоемкости газа c_m ; $\bar{N} = N/A$ — отношение концентрации продуктов детонации в пузырьке N к начальной концентрации A исходного вещества в нем. Эта система замыкается уравнением кинетики для бимоле-

$$(4) d\bar{N}/d\tau = \zeta \beta^2 \sqrt{\bar{T}} e^{-\alpha/\bar{T}} (1 - \bar{N})^2,$$

где $\zeta = Az\sqrt{\bar{T}_0 R_0/V_0} \sqrt{p_0/\rho_0}$, $\alpha = E_a/BT_0$ — энергия активации E_a , отнесенная к начальной температуре T_0 и универсальной газовой постоянной B ; z — константа, связанная с радиусами молекул r_1 , r_2 и их массами m_1 , m_2 соотношением (N_0 — число Авогадро) $z = N_0(r_1 + r_2)^2 \times [(8\pi B/N_0)(1/m_1 + 1/m_2)]^{1/2}$. Расчет показал, что существуют минимальные значения амплитуд $p_{\min} = \text{const}$, при которых химическая реакция смеси в пузырьке принимает взрывной характер. Причем для всех исследованных значений R_0 в диапазоне 0,001—1 см момент взрыва не совпадал с моментом достижения $\bar{\beta} = \beta_{\min}$, а приходился на начальную стадию фазы расширения пузырька ($\bar{\beta} > 0$).

Типичные результаты поведения $\beta(\tau) = 1$, $\dot{\beta}(\tau) = 2$, $\bar{p}_r(\tau) = 3$, $\bar{p}_{ad}(\tau) = 4$ приведены на рис. 5, где специально выделена динамика давления в смеси по чистой «адиабате» (\bar{p}_{ad}), без кинетики. Заметим, что вплоть до взрыва \bar{p}_r практически следует за \bar{p}_{ad} , т. е. прирост температуры за счет реакции невелик. Несложно видеть, что функции $\beta(\tau)$ и $\dot{\beta}(\tau)$ имеют изломы, характерные для взрывной нагрузки (см. рис. 1). В окрестности точки взрыва адиабатическая составляющая, очевидно, уже роли не играет. Тогда вторым слагаемым в правой части уравнения (3) можно пренебречь, откуда $\bar{T} \approx \eta \bar{N}$, и, значит, окончание реакции ($\bar{N} \rightarrow 1$) отвечает максимальной температуре $\bar{T}_{\max} = \eta$ (или $T = Q/c_m$). Безразмерный параметр η для рассматриваемой реакции имеет величину ~ 70 .

Оказалось, что с увеличением начального радиуса пузырька R_0 \bar{p}_{\min} уменьшается, а период индукции (время от момента схлопывания τ_* до момента взрыва τ_0) растет. Соответствующую оценку можно получить на интервале $\Delta\tau = \tau_0 - \tau_*$, используя уравнение (4) и полагая, что в об-

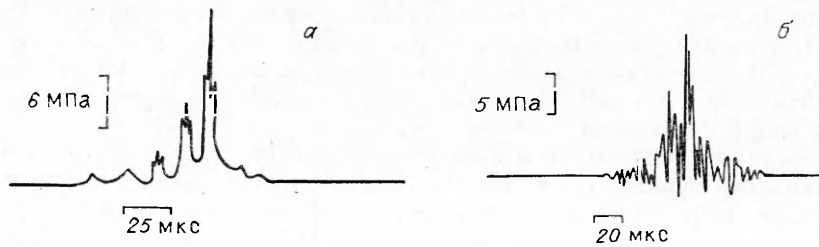


Рис. 4

ласти начала скачка \bar{N} можно пренебречь по сравнению с 1, а β на этом интервале не меняется. Тогда при замене \bar{N} на \bar{T}

$$d\bar{T}/d\tau \simeq \eta \beta_{\min}^{-3} \sqrt{\bar{T}} e^{-\alpha/\bar{T}},$$

или, после преобразований,

$$(5) \quad \tau_0 - \tau_* \simeq (2\beta_{\min}^3/\eta\xi) \int_{\sqrt{\bar{T}_*}}^{\sqrt{\eta}} e^{\alpha/y^2} dy.$$

Верхний предел — константа, характеризующая реакцию, нижний определяется давлением на бесконечности, $\xi \sim R_0$. Оценка времени индукции, выполненная в частном случае для $R_0 = 10^{-3}$ м и $\bar{p}_{\min} = 4,1$ (нижний порог существования взрывной реакции), когда $\beta_{\min} \simeq 0,5$, а $\bar{T}_* \simeq 2,64$, дает $\Delta\tau \simeq 1,8 \cdot 10^{-2}$, что вполне отвечает рис. 5. Расчет проведен при параметрах: $\alpha \simeq 51,5$, $\eta \simeq 70$, $\xi \simeq 2,72 \cdot 10^9 R_0$. Превышение \bar{p}_{\min} довольно быстро уменьшает $\Delta\tau$.

Процесс распространения волны в пузырьковой среде с описанной выше кинетикой численно исследован в точной постановке в лагранжевых массовых переменных в рамках системы

$$(6) \quad \begin{aligned} \rho_t &= -\rho^2 u_s, \quad u_t = -p_s, \\ \rho_0 R S_t + (3/2)\rho_0 S^2 &= p_r - 2\sigma/R - 4\mu S/R - p, \\ T_t &= Q N_t / c_m A + 3(\gamma - 1)q/c\rho_r R - 3(\gamma - 1)TS/R, \\ N_t &= 3z \sqrt{\bar{T}} e^{-E_a/BT} (A - N)^2 / 4\pi R^3, \\ R_t &= S, \quad p_r = \rho_{0r} (R_0/R)^3 T(B/M), \\ p &= p_0 + (\rho_0 c_0^2/n)((\rho/\rho_0(1-K))^{n-1} - 1), \quad q = 2\pi R \lambda \text{Nu}(T_0 - T), \\ \text{Nu} &= \begin{cases} \sqrt{\text{Pe}}, & \text{если Pe} > 100, \\ 10,0, & \text{если Pe} < 100, \end{cases} \quad \text{Pe} = 12(\gamma - 1)T_0 R |S|/v |T_0 - T|. \end{aligned}$$

Здесь λ , v — коэффициенты теплопроводности жидкости и температуропроводности газа; Pe — число Пекле; c_0 — скорость звука в жидкости; s — массовая лагранжева координата; M — молекулярный вес в углеродных единицах; $K = \frac{K_0 \rho (R/R_0)^3}{\rho_0 (1 - K_0)}$ — текущее значение объемной концентрации; c — теплоемкость газа; ρ — плотность смеси; ρ_0 — плотность жидкости.

Результат расчета для водородо-кислородной смеси при скорости поршня 3 м/с, инициирующим падающую волну, для объемной концентрации $K_0 = 0,005$ и $R_0 = 0,2$ см приведен на рис. 6 для моментов времени 500 мкс (a) и 1000 мкс (б) (кривые 1 — $p(x)$, 2 — $R/R_0 = \beta(x)$). Амплитуда «детонационного лидера» около 30 МПа, скорость 1230 м/с. Скорость основной волны падает с 800 до 700 м/с. Фронт ее можно определить по структуре распределения $\beta(x)$.

Скорость и амплитуда детонационной волны

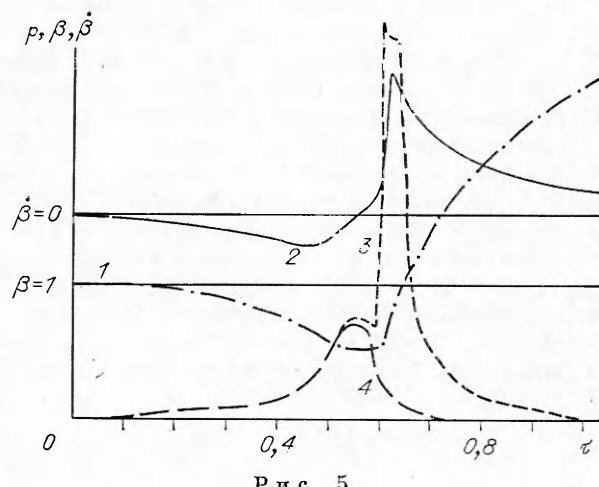


Рис. 5

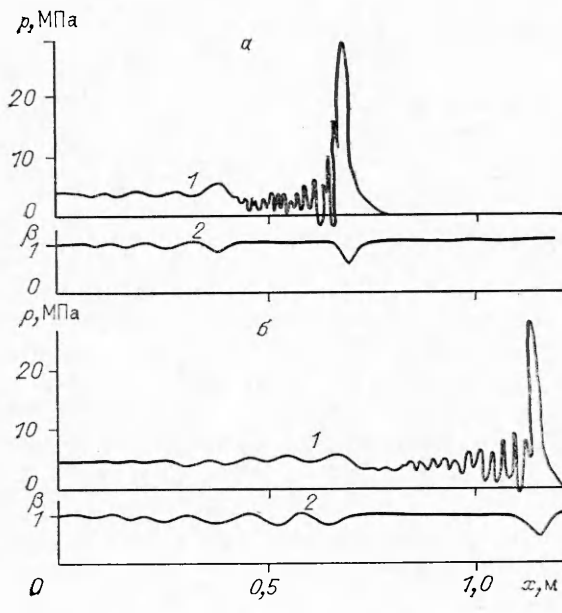


Рис. 6

Оценка с искусственно усиленным теплоотводом подтвердила это предположение: при остыании газа до начальной температуры давление в среде возвращается к начальному при неизменных параметрах детонационного лидера.

Сравнение выполненных расчетов с экспериментальными данными подтверждает возможность использования неравновесной двухфазной модели пузырьковой среды для описания основных параметров и тонкой структуры реальных волновых полей в процессах с химическими превращениями.

ЛИТЕРАТУРА

1. Кедринский В. К., Пиголкин Г. М. Об устойчивости схлопывающейся газовой полости во вращающейся жидкости // ПМТФ.— 1964.— № 3.
2. Hasegawa T., Fujiwara T. Detonation in oxi-hydrogen bubbled liquids // 19th Intern. symp. on combustion, Haifa, Pittsburg, USA, 1982.
3. Пинаев А. В., Сычев А. И. Обнаружение и исследование самоподдерживающегося режима детонации в системах жидкое горючее — пузырьки окислителя // ДАН СССР.— 1986.— Т. 290, № 3.
4. Пинаев А. В., Сычев А. И. Влияние физико-химических свойств газа и жидкости на параметры и условия существования волны детонации в системах жидкость — пузырьки газа // ФГВ.— 1987.— Т. 23, № 6.
5. Сычев А. И., Пинаев А. В. Самоподдерживающаяся детонация в жидкостях с пузырьками взрывчатого газа // ПМТФ.— 1986.— № 1.
6. Шагапов В. Ш., Вахитова Н. К. Волны в пузырьковой жидкости при наличии химических реакций в газовой среде // Тр. XI th ISNA, Новосибирск, 1987.— Ч. 2.
7. Kedrinskii V. K., Mader Ch. L. Accidental detonation in bubble liquids // 16th Intern. symp. on shock tubes and waves, Aachen, 1987.— Weinheim, 1987.
8. Майдер Ч. Численное моделирование детонации.— М.: Наука, 1985.
9. Кедринский В. К. Ударные волны в жидкости с пузырьками газа // ФГВ.— 1980.— Т. 16, № 5.
10. Кедринский В. К. Распространение возмущений в жидкости, содержащей пузырьки газа // ПМТФ.— 1968.— № 4.
11. Тодес О. М. «Адиабатический» тепловой взрыв // Теория горения и взрыва.— М.: Наука, 1981.

г. Новосибирск, СССР,
г. Гонолулу, США

стабилизируются: уже около 450 мкс волна выходит на стационарный режим. Полный профиль $p(x)$ несколько меняется: если при $t = 500$ мкс детонационная волна практически отделилась от основной волны некоторой переходной зоной осцилляций, то при 1000 мкс средняя амплитуда этой зоны возросла и стала сравнимой с амплитудой основной волны. Однако фронт последней довольно четко определяется по началу второго участка пульсаций пузырьков (рис. 6, б, кривая 2). Указанная особенность численного решения объясняется неполным учетом процесса теплообмена системы пузырек — жидкость.

Поступила 11/I 1989 г.